

Парціальні та інтегральні енталпії змішування для системи Mg-Si оцінені за розробленою нами методикою, яка базується на наступних рівняннях:

$$\begin{aligned} \left(\mu_1'\right)_{T_p} &= \left(\mu_1^{\text{so}}\right)_{T_p}; \\ \mu_1' + RT_p \ln a_1' &= \left(\mu_1^{\text{so}}\right)_{T_p}; \\ RT_p \ln \gamma_1' &= (-\Delta G_{\text{пп.}})_{1,T_p} - RT_p \ln x_1'; \\ \Delta \bar{H}_1 - T \Delta \bar{S}_1^{\text{надл.}} &= -\Delta G_{\text{пп.},1} - RT \ln x_1'. \quad (1) \end{aligned}$$

Так як  $\Delta \bar{H}_1$  і  $\Delta \bar{S}_1^{\text{надл.}}$  мало змінюються з температурою, ми припустили, що вони є функціями тільки складу. З іншого боку, парціальні мольні властивості компонентів рідких сплавів змінюються із складом плавно і їх можна апроксимувати яким-небудь класом аналітичних функцій, наприклад, ступеневими поліномами. Для знаходження коефіцієнтів цих функцій ми застосували дані діаграм стану, оскільки рівняння (1) в кінці кінців можна представити так:

$$\sum_i a_i x_2^i - T_p \sum_i b_i x_2^i = \Delta S_{\text{пп.},1}(T_p - T_{\text{пп.},1}) - RT \ln x_1.$$

Якщо із діаграм стану зняти достатньо велику кількість координат кривої ліквідус, то в результаті отримаємо перевиначену систему рівнянь, яку можна перетворити в нормальну з використанням методу найменших квадратів та потім розв'язати, наприклад, за методом Гаусса. Весь розрахунок виконувався на комп'ютері за спеціально розробленою програмою.

Відомо, що парціальні термодинамічні функції найкраще описувати поліномами 3-4 ступеню. Додатковим критерієм є не дуже значна розбіжність між значеннями

$$\left(\Delta \bar{G}_1\right)_{T_i} \text{ і } \left(\Delta \bar{G}_1\right)_{T_{\text{досл.}}}.$$

Виявилося, що при підвищенні показника ступеню з 2 до 3 погіршується узгодження між розрахованими та дослідними величинами. Це обумовлено неточностями в значеннях  $T_p$  і  $x_i$ , які ми визначаємо з графічно представленої діаграми стану з точністю  $\pm 5$  К та 0,01 відповідно. Оскільки значення  $x_i$  підносяться у ступінь (2, 3 тощо), то вплив похибок дуже значний. Тому краще за все обмежитися показником ступеню, рівним 2.

Це є наближенням регулярних розчинів, тоді як, порівнюючи з системами Mg-Sn та Mg-Pb, можна помітити певну асиметричність залежності інтегральної енталпії змішування від складу розплаву. Максимум інтегральної енталпії зміщений від еквімолярного співвідношення в напрямку стійких сполук Mg<sub>2</sub>Si, Mg<sub>2</sub>Sn, Mg<sub>2</sub>Pb. Для всіх сис-

тем Mg-IVa-метал максимум інтегральної енталпії змішування розплавів знаходиться близько  $x_{\text{Mg}}=0,6$ .

Згідно з дослідженнями, виконаними методом калориметрії, парціальна енталпія кремнію в системі Mg-Si при нескінченому розведенні становить  $-51 \pm 2$  кДж/моль, а моделювання за діаграмою стану дало  $a_2=-43$  кДж/моль.

Як видно з рис.2, наближення регулярних розчинів (рис.1 - розраховані) недостатньо добре корелює з експериментальними даними (рис.1 – літературні [8]). Близькість інтегральних енталпій спостерігається лише при малих кількостях Mg. Однак, якщо замість формули  $\Delta H = a_2 * x_{\text{Mg}} * (1-x_{\text{Mg}})$  використовувати модель, у якій  $\Delta H = a_2 * f * (1-f) * k$ , де  $f = x_{\text{Mg}} / ((1-k) * x_{\text{Mg}} + k)$ , а  $k = 1 / (1 - x_{\text{Mg}})$  (ця модель генерує функцію з максимумом при  $x_{\text{Mg}}=0,6$ ), то результати (рис.2 - оптимізовані) дуже добре співпадають з літературними даними.

На рис.2 також порівняні інтегральні енталпії змішування розплавів систем Mg-Si, Mg-Ge, Mg-Sn, Mg-Pb. Як видно, у системі Mg-Ge наявний максимальний екзотермічний ефект змішування, а при переході до сплавів систем Mg-Si та Mg-Pb цей ефект зменшується. Цей факт можна пояснити, по-перше, тим, що електронегативність Ge (2,0) більша, ніж у Si (1,9) та Sn (1,93); водночас електронегативність Mg становить 1,2 (згідно [1]). Атомні радіуси елементів [6] є такими (нм): Mg 0,160; Si 0,0134; Ge 0,139; Sn 0,158; Pb 0,175. Отже, достатньо велика різниця між атомними радіусами спостерігається у системах Mg-Si та Mg-Pb, що також зменшує екзотермічні ефекти змішування в них. Аналогічно  $\Delta H$  змінюються і температури плавлення сполук (°C): Mg<sub>2</sub>Si 1085; Mg<sub>2</sub>Ge 1117; Mg<sub>2</sub>Sn 771; Mg<sub>2</sub>Pb 550. Тобто, найбільш енергетично вигідні сполуки є водночас і найбільш тугоплавкими.

1. Бацанов, С. Структурная химия. Факты и зависимости. – М.: Диалог-МГУ, 2002. – 292 с.
2. Глазов, В.М., Павлова, Л.В., Поярков, К.Б. р-T-Х-Диаграммы двойных систем Mg-Si, Mg-Ge, Mg-Sn // Неорганические материалы – 1983 – Т.19, №9. – С. 1465-1469.
3. Диаграммы состояния двойных металлических систем / Под ред. Н.П. Лякишева. – М.: Машиностроение, 1998. Том 1. 4. Кубашевский, О., Олкокк, С.Б. Металлургическая термохимия (пер. с англ.). М.: Металлургия. 1982, с. 391.
5. Поярков, К.Б. Исследование термодинамических свойств и термической стабильности полупроводниковых соединений магния с элементами IV группы Периодической системы Д.И. Менделеева // Автореф. дисс. ...к.х.н. – М., 1981.
6. Современная кристаллография. – М.: Наука, 1979 г. – В 4х томах.
7. Судацова, В.С., Баталин, Г.И., Зеленина, Л.Н. Термодинамические свойства расплавов систем Si – (Mg, Sb) // Укр. хим. журн. – 1988. – Т. 54, № 6. – С. 655-657.
8. Eldidge, J.M., Miller, E., Komarek, K.L. Thermodynamic Properties of Liquid Magnesium-Silicon Alloys. Discussion of the Mg-Group IV B Systems // Trans. Met. Soc. AIME. – 1967. – Vol. 239, №6. – P. 775-787.

Надійшла до редколегії 07.03.08

С. Лелюшок, канд. хім. наук, М. Іщенко, канд. хім. наук, С. Куліченко, канд. хім. наук, В. Дорошук, канд. хім. наук

## ВПЛИВ ПОВЕРХНЕВО-АКТИВНИХ РЕЧОВИН НА АТОМНО-АБСОРБЦІЙНЕ ВИЗНАЧЕННЯ ВАЖКИХ МЕТАЛІВ З ПОЛУМЕНЕВОЮ АТОМІЗАЦІЄЮ

**Досліджено вплив ПАР різних типів на сигнал атомно-абсорбційного визначення металів і показана можливість зниження межі атомно-абсорбційного визначення плюмбуму, мангансу та кадмію за рахунок модифікуючої дії нейонних ПАР. На прикладі нікелю та плюмбуму показано вплив заряду ПАР та "магічної" дії критичної концентрації міцелоутворення на чутливість атомно-абсорбційного визначення металів.**

**The influence of the different type of surfactants on the analytical signal of flame atomic absorption determination of heavy metals was investigated. The possibility of the decrease of the limit determination of lead, manganese and cadmium at the expense of modifying actions of non-ionic surfactants was shown. On the example of nickel and lead the influence of charge of the surfactant and "magical" action of the critical micelle concentration on the detection sensitivity of atomic absorption determination of heavy metals was shown.**

**Вступ.** У методі міцелярної екстракції колектором мікродомішок виступає фаза неіонної поверхнево-активної

речовини (НПАР) і подальше атомно-абсорбційне визначення металів проводиться за присутності у пробі значної

кількості НПАР [2; 7; 8; 10]. Загалом, використання поверхнево-активних речовин (ПАР) в атомно-абсорбційній спектроскопії (AAC) є перспективним прийомом покращення метрологічних характеристик аналізу [9;11]. При введенні ПАР у багатьох випадках покращується чутливість, селективність та точність AAC визначення іонів металів, іноді розширяється робочий діапазон кислотності [6]. Модифікуюча дія ПАР в атомно-абсорбційній спектроскопії з по-луменовою атомізацією зазвичай пояснюється зменшенням розмірів крапель аерозолю, підвищеннем ступеня його монодисперсності та дегідратацією іонів металів під дією ПАР [5]. Іноді проводяться аналогії дії ПАР з впливом органічних розчинників і допускається значимість фактору підвищенння температури полум'я за рахунок згорання органічного компоненту проби. При цьому, ефективність модифікуючої дії у таких системах обумовлюється природою ПАР та їх вмістом у пробі. Разом з цим, у літературі відсутні критерії раціонального вибору умов використання та типу ПАР-модифікатора і здійснення вибору часто проводять після всеобщого дослідження впливу ПАР на аналітичний сигнал з урахуванням температури атомізації, типу приладу тощо. Практично єдиними узагальненнями у цій області є рекомендація по використанню протилежно зарядженої по відношенню до заряду металу ПАР. При цьому відзначається певна "магічна" роль критичної концентрації міцелоутворення ПАР (ККМ), при якій метрологічні характеристики методики стають оптимальними [5]. Тому раціональне застосування поверхнево-активних речовин в атомно-абсорбційному аналізі потребує детального дослідження і накопичення масиву експериментальних даних.

У роботі досліджено вплив ПАР різних типів на атомно-абсорбційне визначення кадмію, плюмбуму, срібла, кобальту, нікелю та мангану. Ці метали відносяться до екотоксикантів техногенного походження або біометалів з низьким вмістом в об'єктах довкілля і контроль за їх вмістом без попереднього концентрування практично неможливий [4]. Важливо також було порівняти вплив широко використовуваних у міцелярній екстракції препаратів ОП-7 та ОП-10 на параметри AAC визначення з дією інших неіонних ПАР, що використовуються або можуть бути використані у таких системах (препарати типу неонол, Triton, Tween тощо). Для систематизації отриманих даних паралельно також прослідковували вплив іонних ПАР на атомно-абсорбційне визначення металів. Використання іонних ПАР дозволило також дослідити вплив загальної гідрофобності та заряду ПАР-модифікатора на характеристики AAC визначення досліджуваних металів.

**Реагенти та апаратура.** У роботі використали неіонні ПАР ПАР ОП-7, ОП-10, неонол АФ<sub>9</sub>-10, Tween 40 та Tween 60. Як катіонні ПАР (КПАР) у роботі були використані хлориди та броміди алкілпіridинію з різною довжиною вуглеводневого радикалу. Хлориди додецилпіridинію ( $n=12$ ) та цетилпіridинію ( $n=16$ ) були фірми "Merck" з вмістом основної речовини > 99,5 %. Бромід тетрадецилпіridинію ( $n=14$ ) та хлорид децилпіridинію ( $n=10$ ) були синтезовані конденсацією піridину з відповідними алкілгалогенідами за методикою [1]. Вміст основної речовини в очищених перекристалізацією препаратах КПАР контролювали двофазним титруванням [1] і становив >99,5 %. Як аніонну ПАР (АПАР) у роботі використали додецилсульфат натрію фірми "Merck" з вмістом основної речовини > 99 %.

Вихідні робочі розчини срібла, кобальту, нікелю готовили розчиненням точної наважки металу в азотній кислоті (1:1) згідно [3]. Для приготування робочих розчинів кадмію був використаний стандартний зразок

ГСОРМ ПК-1; розчини плюмбуму та мангану готовили з використанням зразків ГСОРМ-23.

У роботі був використаний атомно-абсорбційний спектрометр "Сатурн" (склад горючої суміші пропан - бутан - повітря).

**Методика експерименту.** У мірні колби об'ємом 25 мл вносили розраховану кількість розчину металу ( $V < 1$  мл) і доводили до мітки водним розчином ПАР певної концентрації. Проводили вимірювання інтенсивності AAC сигналу розчинів металів з різними типами ПАР. Вимірювали інтенсивність отриманого за різних умов аналітичного сигналу та розраховували параметри градуювальних графіків (ГГ) визначення металів:  $I = a + b \cdot C_M$  (мкг/мл).

Порівняння коефіцієнтів  $a$  і  $b$  (співвідношення "шум - чутливість") ГГ дозволило адекватно оцінити перспективність використання досліджених ПАР для підвищенння чутливості прямого AAC визначення металів, а у випадку неіонних ПАР – чутливості AAC визначення металів з по-переднім міцелярно-екстракційним концентруванням.

#### Результати та їх обговорення.

**КАДМІЙ.** Встановлено, що збільшення концентрації неіонних ПАР ОП-7, ОП-10, неонол АФ<sub>9</sub>-10, Tween 40 та Tween 60 в інтервалі концентрацій 1-10% підвищує аналітичний сигнал кадмію і нижня межа визначення зменшується. Так, у присутності ОП-7 межа виявлення кадмію (розрахована за З $\sigma$ -критерієм) зменшується у п'ять разів. Цікаво, що при використанні препаратів інших неіонних ПАР найбільше підвищення аналітичного сигналу спостерігається при концентрації НПАР-модифікатору, близькій до ККМ.

Введення у систему іонних ПАР, аналогічно дії неіонних препаратів, також дещо підвищує AAC сигнал кадмію. При цьому, суттєвої різниці модифікуючої дії катіонних та аніонних ПАР не спостерігається. Примітно, що збільшення гідрофобності катіонних ПАР в ряду солей алкілпіridинію з  $n=11-16$  на величину сигналу AAC визначення кадмію практично не впливає.

**НІКЕЛЬ.** Встановлено, що додатки неіонних ПАР у широких концентраційних межах на параметри AAC визначення нікелю не впливають. На противагу до цього, додавання іонних ПАР дещо підвищує сигнал AAC визначення нікелю. Так, у присутності хлоридів додецил- та цетилпіridинію при концентрації на рівні ККМ спостерігається практично дворазове підвищення аналітичного сигналу, рис. При подальшому збільшенні вмісту катіонної ПАР залежність  $I=f(C_{\text{КПАР}})$  виходить на плато.

Введення у систему додецилсульфату натрію також збільшує величину аналітичного сигналу нікелю. На відміну від катіонних ПАР, зростання концентрації ДДСН призводить до поступового підвищення чутливості визначення нікелю. Такий характер впливу ДДСН ілюструє сформульоване у літературі положення про підвищення ефективності дії протилежно зарядженої ПАР на AAC визначення металів [5] і може бути використаний при концентруванні іонів металів у фазу аніонних ПАР.

**МАНГАН.** Встановлено, що у присутності неіонного ОП-7 при концентрації  $> KKM$  чутливість AAC визначення мангану зростає практично у півтора рази. Введення у систему додецилсульфату натрію та катіонних ПАР при  $C_{\text{ПАР}} \leq KKM$  також підвищує чутливість визначення металу. Однак, при подальшому збільшенні вмісту КПАР чутливість дещо зменшується, а у випадку аніонної ПАР - залишається постійною. Таким чином, у випадку мангану найбільш ефективним модифікатором виступає неіонна ПАР ОП-7.

**ПЛЮМБУМ.** Доміцелярні концентрації ОП-7 зменшують сигнал атомно-абсорбційного визначення плюмбуму. Подальше збільшення вмісту ОП-7 понад кри-

тичну концентрацію міцелоутворення навпаки підвищує чутливість такого визначення. Вплив аніонної ПАР на характеристики ААС визначення плюмбуму виявився дещо складнішим. Так, збільшення вмісту ДДСН до ККМ призводить до поступового підвищення аналітичного сигналу і при  $C_{\text{ПАР}} \approx \text{ККМ}$  спостерігається дворазове підвищення чутливості. Подальше підвищення вміс-

ту аніонної ПАР дещо зменшує аналітичний сигнал ААС визначення іонів плюмбуму.

На прикладі неіонної та аніонної ПАР при атомно-абсорбційному визначенні плюмбуму ілюструється "магічна" дія ПАР в області ККМ.

Встановлено, що у широкому інтервалі концентрацій неіонні ПАР на параметри градуювальних залежностей визначення кобальту та срібла не впливають.

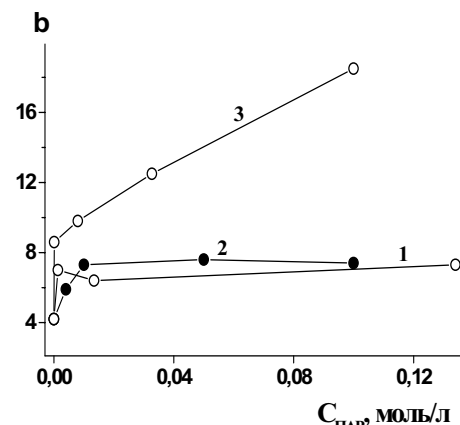


Рис. Залежність чутливості ААС визначення нікелю від концентрації ПАР: неонол АФ<sub>9</sub>-10 (1), ДДПХ (2), ДДСН (3)

Таблиця

Вплив ПАР-модифікатора на сигнал ААС визначення металів з полуменевою атомізацією

| ПАР                        | Метал |    |    |    |    |    |
|----------------------------|-------|----|----|----|----|----|
|                            | Pb    | Mn | Cd | Co | Ni | Ag |
| <b>Неіонні</b>             |       |    |    |    |    |    |
| ОП-7                       | +     | ++ | ++ | 0  | 0  | 0  |
| ОП-10                      | -     | -  | +  | 0  | 0  | 0  |
| Неонол АФ <sub>9</sub> -10 | -     | -  | +  | 0  | 0  | 0  |
| Tween-40                   | -     | -  | +  | 0  | 0  | 0  |
| Tween-60                   | -     | -  | +  | 0  | 0  | 0  |
| <b>Катіонні</b>            |       |    |    |    |    |    |
| УДПХ (n=11)                | -     | -  | +  | -  | +  | -  |
| ДДПХ (n=12)                | -     | +  | +  | -  | +  | 0  |
| ТридПХ (n=13)              | -     | -  | +  | -  | +  | -  |
| ТДПХ (n=14)                | -     | -  | +  | -  | +  | -  |
| ПДПХ (n=15)                | -     | -  | +  | -  | +  | -  |
| ЦПХ (n=16)                 | -     | +  | +  | -  | +  | 0  |
| <b>Аніонні</b>             |       |    |    |    |    |    |
| ДДСН                       | +     | +  | +  | -  | ++ | 0  |

(0) - приріст сигналу відсутній

(+) - реєструється приріст аналітичного сигналу

(++) - суттєвий приріст аналітичного сигналу

(-) - не досліджували

**Висновки.** Аналіз отриманих у роботі та зведеніх у табл. даних показує, що використання неіонних ПАР як модифікаторів аналітичного сигналу дозволяє знизити межу атомно-абсорбційного визначення плюмбуму, мангану та кадмію. При цьому, специфічних проявів модифікуючої дії катіонних ПАР (впливу гідрофобності) не спостерігали. Разом з цим, для нікелю та плюмбуму показано вплив заряду ПАР та "магічної" дії ККМ на чутливість ААС визначення металів.

1. Абрамзон, А.А., Зайченко, Л.П., Файнгольд, С.И. Поверхностно-активные вещества. Синтез, анализ, применение // Под. ред. Абрамзона А.А. – Л.: Химия, 1988. – 200 с.
2. Дорошук, В.О., Куліченко, С.А. Концентрирование кадмия фазами неионного ПАВ ОП-10 при температуре помутнения // Журн. аналит. хим. – 2005. – Т. 60, №5. – С. 458-463.
3. Корестелев, П.П. Приготовление растворов для химико-аналитических работ. М.: Изд-во АН СССР, 1964. 311 с.
4. Набиеванець, Б.Й., Сухан, В.В., Калабіна, Л.В. Аналітична хімія навколо середовища. –К.: Либідь, 1996. –304 с.
5. Савчин, С.Б., Чернова, Р.К., Штыков, С.Н. Поверхностно-активные вещества –М.: Наука, 1991. – 251 с.
6. Штыков, С.Н. Поверхностно-активные вещества в анализе. Основные достижения и тенденции развития // Журн. аналит. химии. – 2000. – Т. 55, №7. – С. 679-686.
7. Chen, J., Xiao, S., Wu, X., Fang, K., Liu, W. Determination of lead in water samples by graphite furnace atomic absorption spectrometry after cloud point extraction // Talanta. – 2005. – Vol.67, №5. – P. 992-996.
8. Coelho, L.M., Arruda, M.A. Preconcentration procedure using cloud point extraction in the precence of electrolyte for cadmium determination by flame atomic absorption spectrometry // Spectrochimica Acta. - 2005. - Vol. 60, - P. 473-478.
9. Hinze, W.L., Pramauero, E. A critical review of surfactant-mediated phase separations (cloud point extractions): theory and applications // CRC Crit. Rev.Anal.Chem. - 1993. - Vol. 24, №2. – P. 133-177.
10. Ohashi, A., Ito, H., Kanai, H., Imura, H., Ohashi, K. Cloud point extraction of iron(III) and vanadium(V) using 8-quinolinol derivatives and Triton X-100 and determination of  $10^{-7} \text{ mol dm}^{-3}$  level iron(III) in riverine water reference by a graphite furnace atomic absorption spectroscopy // Talanta. – 2005. – Vol. 65, №2. – P. 525-530.
11. Quina, F.H., Hinze, W.L. Surfactant-mediated cloud point extractions: an environmentally benign alternative separation approach // Ind.Eng.Chem.Res. - 1999. - Vol. 38, №11. – P. 4150-4168.

нова, Р.К., Штыков, С.Н. Поверхностно-активные вещества –М.: Наука, 1991. – 251 с.

6. Штыков, С.Н. Поверхностно-активные вещества в анализе. Основные достижения и тенденции развития // Журн. аналит. химии. – 2000. – Т. 55, №7. – С. 679-686.

7. Chen, J., Xiao, S., Wu, X., Fang, K., Liu, W. Determination of lead in water samples by graphite furnace atomic absorption spectrometry after cloud point extraction // Talanta. – 2005. – Vol.67, №5. – P. 992-996.

8. Coelho, L.M., Arruda, M.A. Preconcentration procedure using cloud point extraction in the precence of electrolyte for cadmium determination by flame atomic absorption spectrometry // Spectrochimica Acta. - 2005. - Vol. 60, - P. 473-478.

9. Hinze, W.L., Pramauero, E. A critical review of surfactant-mediated phase separations (cloud point extractions): theory and applications // CRC Crit. Rev.Anal.Chem. - 1993. - Vol. 24, №2. – P. 133-177.

10. Ohashi, A., Ito, H., Kanai, H., Imura, H., Ohashi, K. Cloud point extraction of iron(III) and vanadium(V) using 8-quinolinol derivatives and Triton X-100 and determination of  $10^{-7} \text{ mol dm}^{-3}$  level iron(III) in riverine water reference by a graphite furnace atomic absorption spectroscopy // Talanta. – 2005. – Vol. 65, №2. – P. 525-530.

11. Quina, F.H., Hinze, W.L. Surfactant-mediated cloud point extractions: an environmentally benign alternative separation approach // Ind.Eng.Chem.Res. - 1999. - Vol. 38, №11. – P. 4150-4168.

Надійшла до редакції 25.03.08